

貯水池の堆砂過程について

九大工学部 正員 猪 東一郎
 大林組 正員 増田 知行
 九大工学部 学生員 ○宮武 順造

1 近年洪水調節や水資源開発の目的として各種の容量をもつ貯水池が築造されているが我が国は一般に地形急峻で流出土砂量が多く貯水池への堆積によって有効貯水量の減少、back sandによる河床の上昇などの障害が注目されている。掃流砂による貯水池の埋没過程は一般に段丘の形で行なわれ、上流より供給された土砂は砂堆の背面を掃流されると同時に一部は背面に堆積してback sandとして堆砂を上流側に波及させ、他は段丘の肩より転落して前面に堆積し、その移動によって貯水池を埋めてゆく。従って段丘の運動に注目して特に我が國に於て多くの実験的研究が行なわれ、杉尾教授、山岡教授、矢野、芦田教授などにより優れた結果が得られている。しかしながら段丘の生成、発達及び運動は特異且として解析的な取扱いを甚だしく制約するためいまのところ杉尾教授が読みられているように堆砂現象に関する多くの実験を総括して合理的な実験式を導くことが現象の定量的な把握のために急務であろうと思われる。さて貯水池の埋没過程に於て既に移動床である河川にdamを築き、背水区域外の河床を構成する砂礫による流砂が貯水池に流入する場合と、山脚部の多くの河川にみられるように原河床を構成する礫にくらべて甚だしく小さな砂礫をwash loadとして流送したものを貯水池に於て堆積させる型がある。本文では一般的な後者の場合を取り扱うことに対する問題としては、えられた単位幅供給砂量 q_{so} 、流量 Q 及びえられた堰に基く貯水池水面形のもとに、①段丘発生位置 ②段丘肩の軌跡 ③段丘厚さと前進速度 ④段丘部流砂量 ⑤平均堆砂面勾配及び段丘が堰に到達した時の堆砂面勾配、などがあげられる。これらにつけては杉尾教授は既に次元解説に基づく実験式を提案されておりがゆかれわれは杉尾教授、山岡教授の実験結果を検討すると同時に、新しく実験を補足して、より普遍的な表式を求めよう試みている。実験は自下継続中で今のところ射流状態の等流流れが堰による S_q 曲線に接続する場合を終了した段階であるが、この範囲に限って若干の考察を加えてみたい。

2 実験装置と方法

有効長 15m 幅 0.6m 高さ 0.6m 片面

表-1

実験番号	砂	平均粒径(mm)	比重	Sand box		堆砂中空隙率(%)	流量(範囲) cm ³ /sec	勾配	堰高(cm)	給砂量(範囲) cm ³ /sec
				空隙率(%)	空隙率(%)					
I	A	0.85	2.632	49.0	43.0	373.6	100	1	10.0	~ 0.254
	B	0.33	2.684	48.0	42.0				7.5	~ 0.380
II	A	0.85	2.692	49.0	43.0	~ 177.7	100	5.0	~ 0.547	~ 0.386
	B	0.33	2.682	48.0	42.0	~ 382.8		4.3	8.6	~ 0.198

表-2

実験番号	砂	平均粒径(mm)	比重	Sand box		堆砂中空隙率(%)	流量(範囲) cm ³ /sec	勾配	堰高(cm)	給砂量(範囲) cm ³ /sec
				空隙率(%)	空隙率(%)					
杉尾博士	A	0.85	2.59	47.0	47.0	~ 192.6	1	2.5	~ 0.255	~ 0.8238
	B	0.844	2.63							
山岡博士	A	3.3	2.66	47.0	47.0	~ 84.5	100	4.0	~ 0.0347	~ 0.2096
	B	1.4	2.66			~ 132.3				~ 0.2328
	C	0.46	2.66			~ 66.6	50	4.0	~ 0.1442	~ 0.198

として流量を一定に保つて q_{10} を出来るだけ広範囲に変化させた。

実験 I, II は底勾配はいずれも $1/100$ であるが、I の河床は平滑であるが、射流等流水深が小さく跳水により急激な堆積変化を伴って貯水池の Sa 曲線に接続する場合であり、II は射流等流れの Froude 数がほぼ 1 に近く、貯水池水面が一様な場合を対象とした。尚、杉尾、山岡教授の実験要目を表-2 に示した。

水面形の測定には 1Mごとに設置した静圧管をマノメータに導き、段丘肩の軌跡及び堆砂形状はボイントゲージによった。

3. 実験結果 図-1, 2 は実験 I, II より堆砂形状及び水面形の時間的変化及び段丘肩水位の軌跡を例示したもので、図-3 は流量を一定に保ち粗砂量を変えた場合の段丘肩の軌跡、初期水面形及び段丘が堰に到達した時の堆砂形状及び水面形を例示したものである。これらから次のことが認められる。

(1) 射流部を wash load として流送されてきた砂は流砂能力即ち流速変化の最も激しい位置を中心として堆積し若干下流に流されて小なり段丘の発生を見る。従って段丘肩始点は跳水終了後の \sim 下流であるが、射流フルード数の大きさ、実験 I, II では段丘肩の軌跡は最初急傾斜の上向きの道筋をとった後ほど水平に流下する。Froude の実験 II では、その軌跡は最初からほぼ水平である。

(2) 段丘通過時に於ける段丘肩水位は同一位置に於ける原水面形水位に比してかなり小さい。又段丘肩及び段丘肩水位の軌跡が直角も水平であり、杉尾、山岡教授などが既に指摘されてい

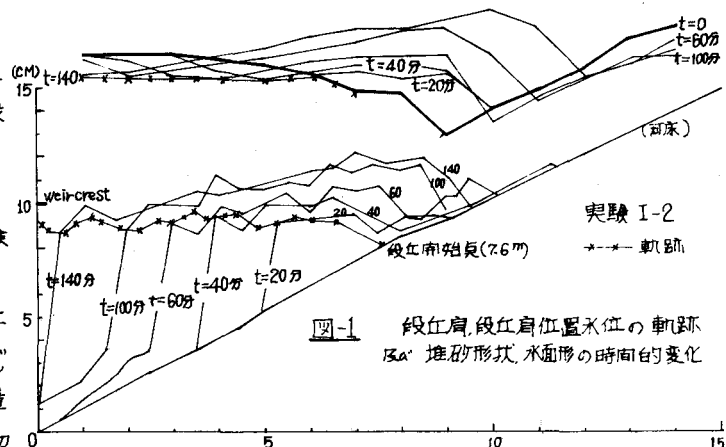


図-1 段丘肩、段丘肩位置水位の軌跡
及び堆砂形状、水面形の時間的変化

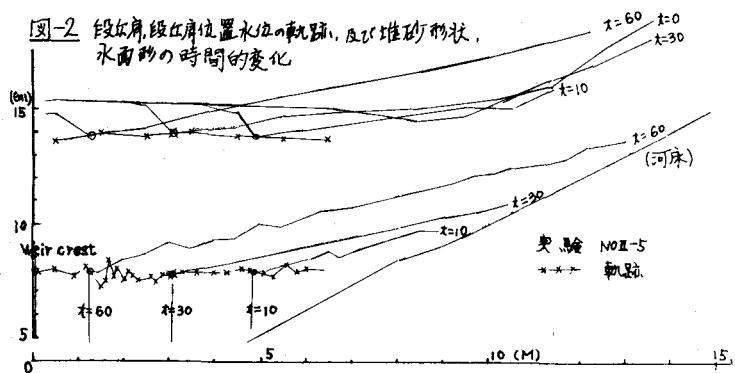


図-2 段丘肩、段丘肩位置水位の軌跡、及び堆砂形状、
水面形の時間的変化

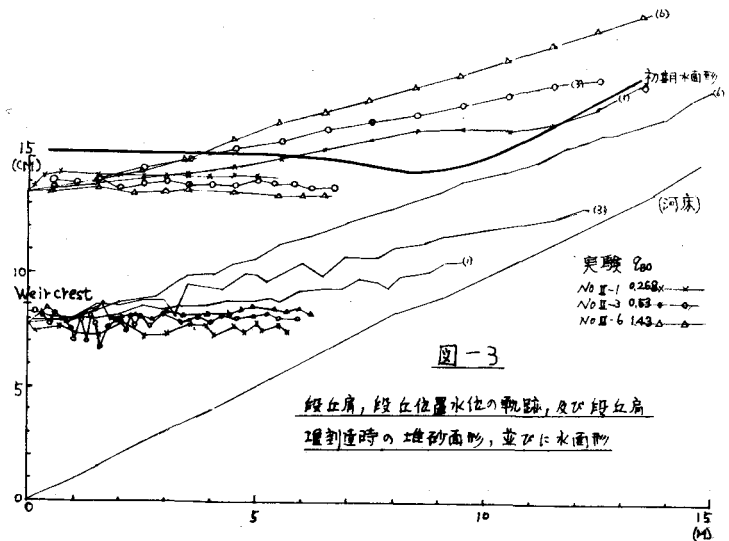


図-3
段丘肩、段丘位置水位の軌跡、及び段丘肩
埋立量時の堆砂面形、並びに水面形

るようすに埋没過程中ほぼ一様である。

(3) 同一流量で給砂量を変化させた場合、図-3で明らかなように、給砂量が増すにつれて段丘肩の軌跡が僅かずつ高位置の水平線を通り、又段丘肩水深も若干小さくなる。また給入量の増す程 back sand のさく上が著しく、段丘流砂量と給砂量の比が減少してゆく。

4 実験結果の考察 貯水池の埋没過程中に於ては河床の近傍を浮流状態で輸送される砂もその浮流距離の小ささために堆砂に巻き込むものと考えなくてはならない。従ってこれら河床近傍の浮流砂を含む掃流型流砂量の式として、有効掃流力 q_e が導入されてゐる次式

$$\begin{aligned} \Psi &= \frac{q_e}{\sqrt{Sg d^3}} = 25 \Psi_e^{1/3} (\Psi_e - \Psi_c) = 25 \Psi_e^{1/3} \\ \Psi_e &= \Psi \frac{q}{q_0} = \frac{U_e^2}{Sg d} \cdot \frac{q}{q_0} \quad \text{但し } \Psi = \sqrt{U_e} \\ q_0 &= 6.0 + 5.75 \log \frac{h}{d} \end{aligned} \quad \left. \right\} \quad \text{①}$$

を用ひることにする。なれど多くの場合、 $\Psi_c = 0.04$ は Ψ_e にくらべて無視される。さて Ψ_e を単位幅流量 q と水深 h で書き換へると $\Psi_e = \frac{q^2}{Sg d} q h \frac{h^2}{d^2}$ となる。従って①式が段丘肩にも適用できるものと仮定し、さうに Ψ の微小な変化を無視すると段丘肩水深が前述のように一定のときには段丘流砂量 q_{ef} も一定の値に保たれることになる。なお q_{ef} は段丘高 z を定め、段丘の前進速度を U 、空隙率を α とするヒエヌの実験式

$$q_{ef} = (1-\alpha) Z U \quad \dots \dots \dots \quad \text{②}$$

が直以的に成立するが、 z 及び U の測定値よりも q_{ef} は埋没過程中一定であることが知られる。

さて段丘流砂量 q_{ef} と給砂量 q_{bo} との割合 η 、段丘進行速度 U 、などの無次元形を求めるに付りて杉尾博士は現象を規定する重要な要素として、 q_{bo} をあてて実験式を作られてゐるがしかしながらこのパラメータでは原河床勾配 I_* 及び粒径 d 、などの要素を含ませることが出来ない。以下では q_{bo} の代りに原河床勾配 I_* 及び与えられた流量のもとに流し得る流砂量 q_{bo} をの式に於て $\Psi_e = \frac{q^2 (I_* z)^{1/3}}{Sg d q_0}$ として求め
給砂量 q_{bo} と q_{ef} との比 q_{bo}/q_{ef} を最も重要なパラメータであると考える。

(1) 段丘流砂量 給砂量 q_{bo} のうち段丘流砂量 q_{ef} が貯水池を埋め、 $(q_{bo} - q_{ef})$ が back sand を形成するから、貯水池の堆積過程中に於ては流砂量分配 q_{bo}/q_{bo} が最も重要である。図-5(a, b) は q_{bo}/q_{bo} の実測値をそれぞれ杉尾、山岡教授の資料とともに q_{bo}/q_{bo} 及 q_{bo}/q_{bo} の関数としてプロットしたものである。図-5(b) のように流量、原河床勾配及び粒径

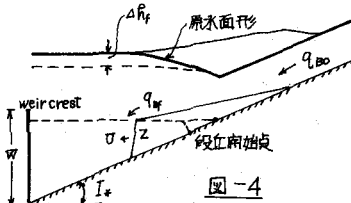


図-4

図-5 (a) q_{bo}/q_{bo} と q_{bo}/q_{bo} の関係

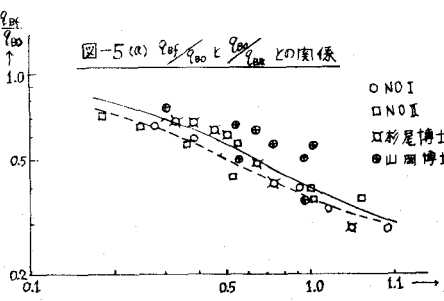
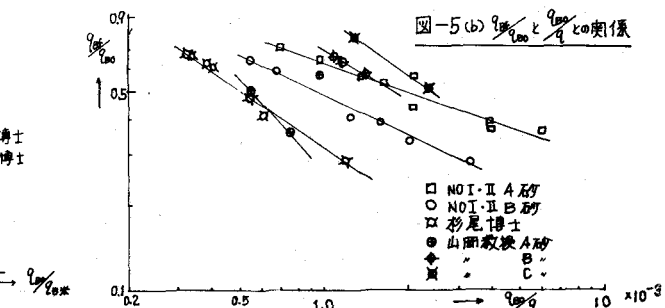


図-5 (b) q_{bo}/q_{bo} と q_{bo}/q_{bo} の関係



にやつてまちまちであつたものが図-5(a)ではほぼ一の曲線のまわりに散らばる。明らかに^{9%}時が増すとともに^{9%}は減少し、砕石のうちback sandの波及に消費される砂量の割合が増加してゆくことを示してゐる。

(2) 段丘肩の軌跡. 貯水池内の原水位曲線($t=0$)は容易に計算され, 実用上ほぼ水平とみなしてよい。貯水池内の一處に注目して高さ δ の段丘が近づくとともに水深 δ より低下し始め段丘の肩がその点を通過する時原水位より δ 低下するものとすると運動量の定理を適用しさうに δ が δ_0 にくらべて小さいとして近似計算を行なうと,

が得られる。従つて段丘肩水深 n_1 は

となり、さらに \hat{h}_f は①式の近似式を用いて次式

$$h_t = \left(\frac{25\sqrt{sgd^3}}{\theta_{bf} \cdot \epsilon} \right)^{\frac{1}{4.8}} \cdot \frac{\theta}{\sqrt{sgd^4 \cdot q_0}} \quad \dots \dots \dots \quad ⑤$$

を満たさねばならない。貯水池のように水面が水平である場合、その水位より($h_f + h_g$)を引いた段丘肩の軌跡もほぼ水平である。なお $h_g \propto P_0^{-0.22}$ であるから、流量を同一にして給砂量を大きく増加しても、crestの軌跡の低下量は図-8に示されるように僅かである。

(3) 段丘前進速度 段丘発生率の二乗根を除くと段丘扇の軌跡は水平とみなされるから、原河床勾配 I_0 を用いて $Z = Z \cdot I_0$ とおける。従つて段丘位置 Z と時間 t との関係及び前進速度は

$$U = \sqrt{\frac{q_{0f}}{q_{0o}}} \cdot \sqrt{\frac{q_{0o}}{2T_f(1-\lambda) \cdot t}}$$

となり、段丘の進行速度は $\frac{1}{L^2}$ に比例する。図-6にこの実験の1例を示す。また図-7に $\sqrt{\frac{q_{so}}{2L_0(1-\lambda)^2}}$ の値を $\frac{q_{so}}{E_{so}}$ の商数として表してある。図中の実線は図-5(a)の平均曲線(実線)から計算したもので極めて簡単な取扱いが妥当であることを示している。

(4) 堆砂面勾配 段丘肩に於ける流砂量は q_{Bf} 、堆砂面
斜面上に於ける流砂量は q_{B0} で、砾石から、平均的には堆砂面
上に $\frac{1}{2}(q_{Bf} + q_{B0})$ の流砂量があるとみなされる。従って①式
は、 q_{Bf} のもとに流し得る流砂量 q_{B0} を導入して

$$\frac{1}{2} (q_{\text{so}} + q_{\text{off}}) = 2.5 \sqrt{s g d^3} \frac{4^{1/2} (g I g)^{3/2}}{s^2 d^4} = q_{\text{ext}} \left(\frac{I}{I_a}\right)^{1.53}$$

$$\frac{I}{I_{\infty}} = \left(\frac{1}{2} \frac{\dot{q}_{\text{so}}}{\dot{q}_{\text{ext}}} \left(1 + \frac{\dot{q}_{\text{sf}}}{\dot{q}_{\text{so}}} \right) \right)^{\frac{1}{2}}$$

となり、 $\frac{1}{14}$ は 2% の勾配となる。段丘が堰に到達した時の堆砂面勾配 I を用いて、二の実験王圖-8に示す。砂防工学では満砂後の河床勾配として、原河床の $\frac{1}{2}$ にとどめる簡便的な方法が用いられるが、 $\frac{1}{2}$ はほぼ平均値に相当し、実際には 2% が増す程度 $\frac{1}{14}$ は増加する。

